

## (I-3) 水中にある棒状構造物の振動に関する一考察

京都大学工学部 正員 工博 後藤 尚男  
京都大学大学院 学生員 ○ 土岐憲三

海峡、貯水池などをわたる橋の橋脚のように、水中にある棒状構造物が、水平地震動を受けた場合の振動性状や、この場合、この構造物に作用する動水圧の理論解を誘導し、その工学的意義について考察を加えようとするものである。本研究では、その第一段階として、その頂部がちょうど水面に達している円柱を探り上げた。

### § 1 曲げ振動の基礎式

図-1のごとく座標 $y-z$ を定め、 $F$ を単位長さ当たりに働く水の抗力とし、 $y_0$ を

$$y_0 = \frac{\delta g}{\omega^2} \sin \omega t$$

で表わせる地動とした場合に、この円柱の曲げ振動に関する微分方程式は、つぎのようにな書ける。

$$EI \frac{\partial^4 y_1}{\partial z^4} + \frac{\gamma_0 \cdot A}{g} \frac{\partial^2 y_1}{\partial t^2}$$

$$= -F + \delta g \sin \omega t \dots \dots (1)$$

ここに、 $E$ は弾性係数、 $I$ は断面二次モーメン  
ト、 $\gamma_0$ は単位体積重量、 $A$ は断面積、 $\omega$ は地動  
の円振動数である。

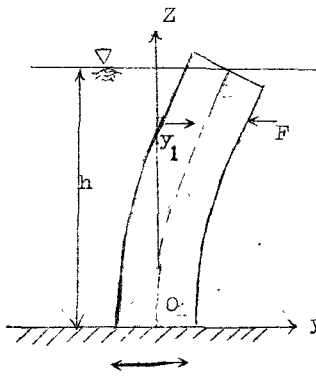
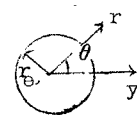


図-1



### § 2 水の抗力 $F$ の表示

図-2のように円柱座標を定め、速度ポテンシャルを $\psi$ とすれば

$$\frac{\partial^2 \psi}{\partial t^2} + \frac{1}{r} \frac{\partial \psi}{\partial r} + \frac{1}{r^2} \frac{\partial^2 \psi}{\partial \theta^2} + \frac{\partial^2 \psi}{\partial z^2} - \frac{w_0}{gK} \frac{\partial^2 \psi}{\partial t^2} = 0 \quad (2)$$

が満たされねばならない。ここに $w_0$ は水の単位体積重量、 $K$ は体積

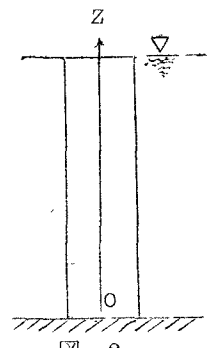


図-2

弾性率を表わす。

地動が $\omega$ なる円振動数を持つているものとすれば、水分子の運動も $\omega$ なる振動数を持つものと考れられる。したがつて、

$$\psi = R(r) \theta(\theta) Z(z) i e^{i \omega t}$$

と置いて、式(2)に代入すれば、

$$\begin{aligned} \frac{d^2 Z}{dz^2} + \alpha_z^2 Z &= 0, \quad \frac{d^2 \theta}{d\theta^2} + \beta^2 \theta = 0, \\ r^2 \frac{d^2 R}{dr^2} + r \frac{dR}{dr} + \{ (r^2 - \alpha^2) - \beta^2 \} R &= 0 \end{aligned}$$

となり、最初の二式は $\psi$ の満たすべき境界条件により解ける。第三の微分方程式の境界条件は円柱表面においては、円柱と水分子の相対速度が 0 であることから、つぎのようになる。

$$-(\frac{\partial \psi}{\partial r})_{r=r_0} = (\frac{dy}{dt}) \cos \theta = \cos \theta (\frac{dy}{dt} + \frac{dy_0}{dt}) \quad (3)$$

$\alpha$ については、これが実数の場合には境界条件を満足する値は無数であり、これらを $a_m$ で表わし、虚数の場合には唯一であるからこれを $a$ 。で表わす。一方、 $r^2 = w_0 \omega^2 / gK$  であつて  $r^2 - \alpha^2 > 0$  の場合、 $r^2 - \alpha^2 < 0$  の場合に、それぞれ  $\sqrt{r^2 - \alpha_m^2} = \lambda_m$ 、 $\sqrt{r^2 - \alpha_m^2} = i\lambda'_m$  とおけば結局、 $\psi$  は次式のごとく求められる。

$$\begin{aligned} \psi &= i e^{i \omega t} \sum_{n=0}^{\infty} \sum_{m=-\infty}^{\infty} E_1 \{ J_n(\lambda_m r) - i Y_n(\lambda_m r) \} \cos a_m z \cos n\theta \\ &\quad + i e^{i \omega t} \sum_{n=0}^{\infty} \sum_{m=-\infty}^{\infty} E_2 K_n(\lambda'_m r) \cos a'_m z \cos n\theta \\ &\quad + i e^{i \omega t} \sum_{n=0}^{\infty} E_3 \{ J_n(\lambda_0 r) - i Y_n(\lambda_0 r) \} \cosh a_0 z \cos n\theta \end{aligned} \quad (4)$$

ここで、 $J_n, Y_n$  は Bessel 関数  $K_n$  は変形された Bessel 関数である。

いま、円柱が受ける動水圧を  $P_\theta$  と書けば、

$$P_\theta = \frac{w_0}{g} (\frac{\partial \psi}{\partial r})$$

で与えられるから、円柱に働く単位長さ当たりの水による抗力  $F$  は、次式で表わされる。

$$F = \int_{-\pi}^{\pi} P_\theta \cdot r e \cos \theta d\theta$$

### § 3 水中にある円柱の定常解

式(5)を式(1)に持ち込み、これを解けば、水中にある円柱が、定常強制変位  $\gamma_0$  を受けた場合のたわみが完全に求められる。

しかしに、式(5)の  $F$  を定めるには式(3)、(4)から分かるように、たわみが求まらねばならないから、これを直接に解くことは非常に困難となる。従来の動水圧に関する理論において、構造物のたわみを無視しているのも、この点に起因するものと思われる。しかしながら、棒状構造物のようなたわみ易い構造物では、このたわみを無視することはできない。

そこで、漸近的方法によつて解くことにし、まず、円柱のたわみを無視した場合の動水圧  $P_e$  を定め、この  $P_e$  が円柱に働いているものとしてこれを水の抗力  $F$  に換算する。さらに、円柱のたわみを式(1)の正規関数  $\times(\varphi)$  を用いて  $J_1 = \sum_j \varphi_j X_j$  と表わし、これと  $F$  を Lagrange の運動方程式に代入すれば、時間関数  $\varphi_j$  に関する微分方程式が得られる。この  $\varphi_j$  を解けば円柱のたわみを知り、これによつて水分子の円柱表面での速度が分かるから、 $\psi$  が、したがつて  $P_e$  が求められる。つぎに、この  $P_e$  を、円柱のたわみを無視した場合の動水圧  $P_e$  の代わりに用いて同様な演算を行なうことによつて、 $P_e$  は一般につぎのように表わされることが分かる。ただし、 $r^2 - a_m^2 > 0$  の場合のみを書き、 $r^2 - a_m^2 < 0$  の場合と、 $a$  が虚数の場合はここには略する。

$$P_e = \sum_{m=0}^{\infty} \frac{8\delta W_0}{\lambda m} \frac{\sin amh}{\sin 2amh + 2amh} \sqrt{\frac{(A_m J_1 + B_m Y_1)^2 + (A_m Y_1 - B_m J_1)^2}{A_m^2 + B_m^2}}$$

$$\times \cos \theta \cos a_m z \times \sum_{n=1}^{\infty} [(-1)^n \left( \frac{w^2}{g} \sum_{i=0}^{\infty} \frac{\sin i}{\delta} \times i \right)^n \sin \{ \omega t - (n+1) E_m \}]$$

$$+ (-1)^n \left( \frac{w^2}{g} \sum_{i=0}^{\infty} \frac{\sin i}{\delta} \times i + 1 \right) \left( \frac{w^2}{g} \sum_{i=0}^{\infty} \frac{\sin i}{\delta} \times i \right)^{n-1} \sin (\omega t - n E_m)$$

$$\text{ここで、 } J_1 = J_1(\lambda_m r_e), \quad Y_1 = Y_1(\lambda_m r_e),$$

$$A_m = J_0(\lambda_m r_e) - J_2(\lambda_m r_e), \quad B_m = Y_0(\lambda_m r_e) - Y_2(\lambda_m r_e),$$

$$\sin 1 = 8 \cdot \delta \frac{gh^3}{(k_1 h)^4 a^2 - \omega^2 h^4} \cdot \frac{W_0}{r_e} \frac{h}{r_e} \sum_{m=0}^{\infty} \frac{1}{\lambda m h} \frac{\sin a_m h}{\sin 2a_m h + 2a_m h} \times$$

$$\times \sqrt{\frac{(A_m J_1 + B_m Y_1)^2 + (A_m Y_1 - B_m J_1)^2}{A_m^2 + B_m^2}} \int_0^h \cos a_m z X_i dz$$

$$S_{i_4} = \delta \frac{gh^3}{(k_i h)^4 a^2 - \omega^2 h^4} \int_0^h X_i dz, \quad E_m = \tan^{-1} \frac{A_m Y_1 - B_m J_1}{A_m J_1 + B_m Y_1}$$

$$X_i = \sqrt{h} \left\{ \cos k_i z - \cosh k_i z + \frac{\sin k_i h - \sinh k_i h}{\cos k_i h + \cosh k_i h} (\sin k_i z - \sinh k_i z) \right\}$$

$$k_i h = 1, 875, 4, 694, 7, 855, \dots \quad (\cos k_i h \cdot \cosh k_i h + 1 = 0 \text{ の根})$$

である。

以上によつて、水中にある円柱に定常強制変位が働いたときの動水圧、円柱の挙動の近似的理論解を誘導することができた。

これらに関する工学的意義、数値計算例などについては講演時に述べる。